

# 絡み目図式の atom と村杉型不等式

岡村美緑

信州大学大学院 総合理工学研究科 理工専攻 数学分野

2018 年 12 月 24 日 (月)

一部は, 境圭一氏 (信州大学) との共同研究に基づく

# 研究内容と主結果

定理 (L. H. Kauffman, K. Murasugi, M. B. Thistlethwaite, 1987)

$D$  : 連結な古典絡み目図式,  $c(D)$  :  $D$  の交点数

$$\implies \text{span} \langle D \rangle \leq 4c(D).$$

$D$  が既約かつ連結な交代図式ならば等号成立.

定理 (N. Kamada, 2004)

$D$  : 連結, proper かつ交代的な仮想絡み目図式,

$g(D)$  :  $D$  から構成する fat frame の種数,

$$\implies \text{span} \langle D \rangle = 4(c(D) - g(D)).$$

また  $D$  : v-alternating 図式  $\implies \text{span} \langle D \rangle = 4(c(D) - g(D)) + 2.$

# 研究内容と主結果

## 定理 (V. O. Manturov, D. P. Ilyutko, 2013)

$D$  : 連結な仮想絡み目図式,  $c(D)$  :  $D$  の実交点数,  
 $\chi(D)$  :  $D$  から構成する曲面 **atom** の Euler 標数.

$$\implies \text{span} \langle D \rangle \leq 4c(D) + 2(\chi(D) - 2).$$

$D$  が **adequate** 図式ならば等号成立.

## 定理 (岡村-境, 2018)

$D$  : **v-adequate** 図式

$$\implies \text{span} \langle D \rangle = 4c(D) + 2(\chi(D) - 2).$$

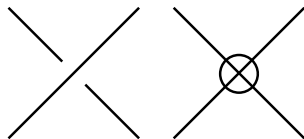
## 系 (岡村-境, 2018)

$D$  : adequate 図式,  $D'$  :  $D$  から構成する v-adequate 図式.

$\implies$  少なくともどちらか一方は真に仮想絡み目を表す図式である.

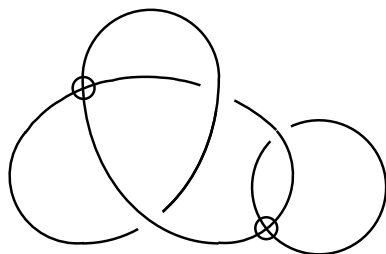
# 仮想絡み目図式

- ▶  $D$  : 仮想絡み目図式, 既約かつ連結



実交点

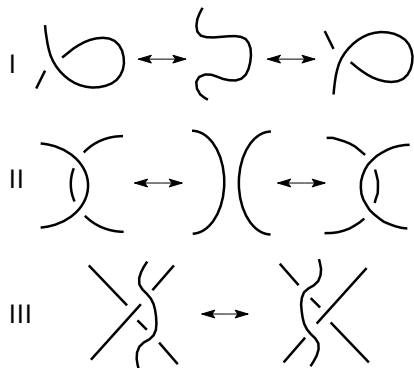
仮想交点



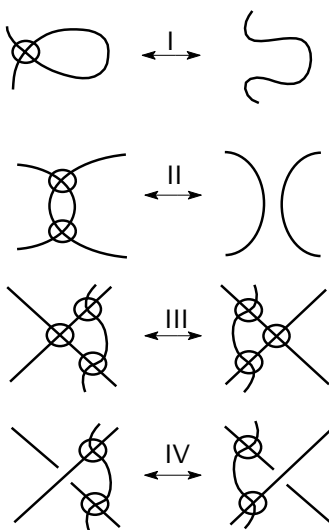
- ▶ 特に, 仮想交点をもたない図式を古典絡み目図式という.

# Reidemeister move and Virtual Reidemeister move

## Reidemeister move



## Virtual Reidemeister move



2つの図式が同型であるとは、上記の変形で移りあうこと。

# Kauffman bracket 多項式

- ▶ 写像  $s : \{D \text{ の各実交点} \} \rightarrow \{A\text{-splice, B-splice}\}$  を  $D$  の state という.
- ▶  $D(s) : \text{state } s \text{ による splice で得られた実交点のない図式.}$
- ▶  $\#D(s) : D(s) \text{ の成分数.}$
- ▶  $\#s^{-1}(A)(\#s^{-1}(B)) : D \text{ のある state } s \text{ での A-splice(B-splice) の数.}$
- ▶  $s$  の重み :  $\langle D/s \rangle = A^{\#s^{-1}(A)-\#s^{-1}(B)}(-A^2 - A^{-2})^{\#D(s)-1}$ .

## 定義 (Kauffman bracket 多項式)

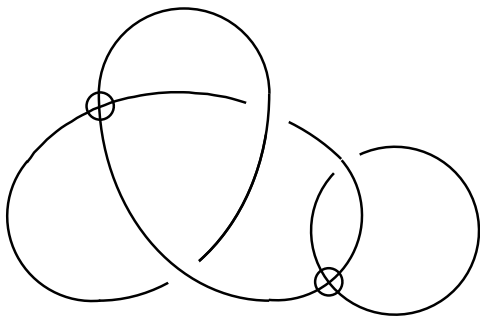
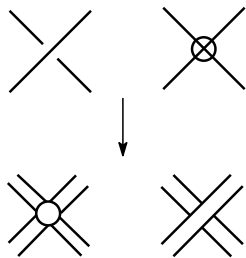
$$\langle D \rangle = \sum_s \langle D/s \rangle.$$

- ▶ Reidemeister move II, III, virtual Reidemeister move で不変.
- ▶ Reidemeister move I による変形で多項式が  $-A^{\pm 3}$  倍変化する.
- ▶  $\text{span } \langle D \rangle = \overline{\text{deg}} \langle D \rangle - \underline{\text{deg}} \langle D \rangle$  (仮想絡み目の不変量).



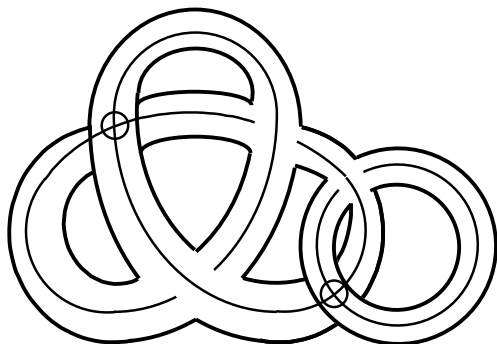
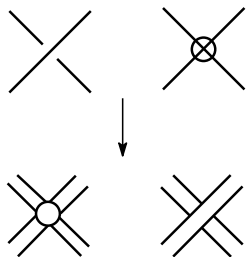
# Atom の構成方法 (V. O. Manturov, D. P. Ilyutko, 2013)

- ▶ 図式  $D$  の実交点を disk, 辺を band とみて, fat frame を構成する.



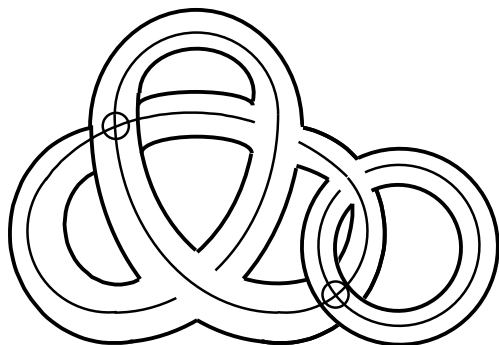
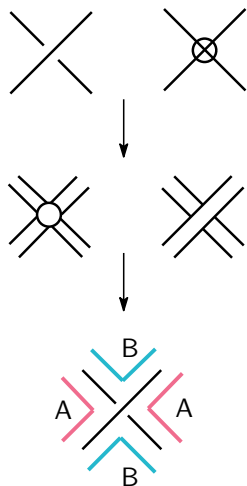
# Atom の構成方法 (V. O. Manturov, D. P. Ilyutko, 2013)

- ▶ 図式  $D$  の実交点を disk, 辺を band とみて, fat frame を構成する.



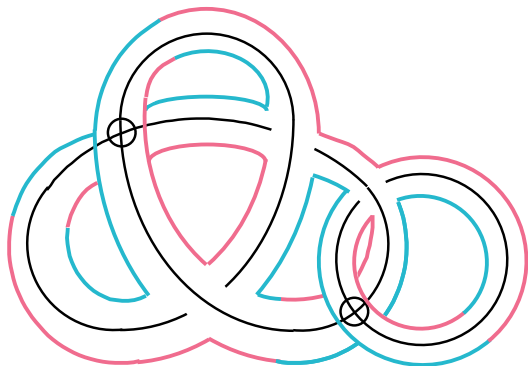
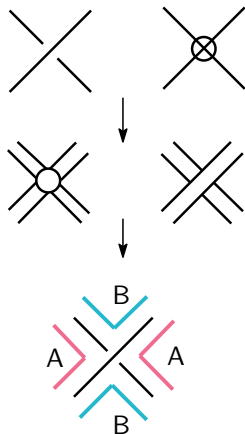
# Atom の構成方法 (V. O. Manturov, D. P. Ilyutko, 2013)

- ▶ 図式  $D$  の実交点を disk, 辺を band とみて, fat frame を構成する.
- ▶ A-splice, B-splice の色付けに従って, 交点周辺の境界に色付けを行う.



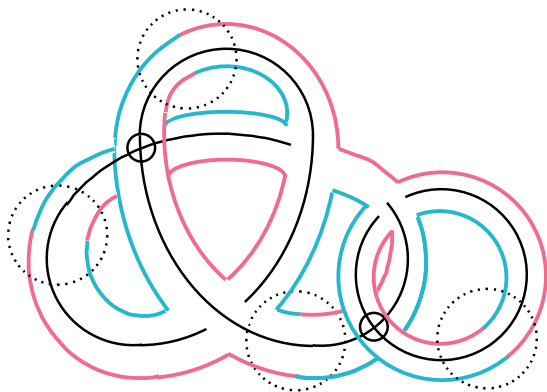
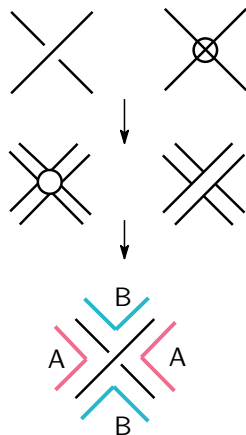
# Atom の構成方法 (V. O. Manturov, D. P. Ilyutko, 2013)

- ▶ 図式  $D$  の実交点を disk, 辺を band とみて, fat frame を構成する.
- ▶ A-splice, B-splice の色付けに従って, 交点周辺の境界に色付けを行う.



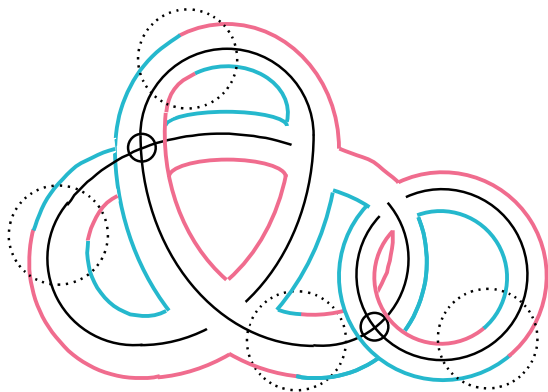
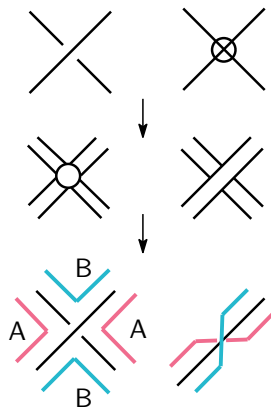
# Atom の構成方法 (V. O. Manturov, D. P. Ilyutko, 2013)

- ▶ 図式  $D$  の実交点を disk, 辺を band とみて, fat frame を構成する.
- ▶ A-splice, B-splice の色付けに従って, 交点周辺の境界に色付けを行う.



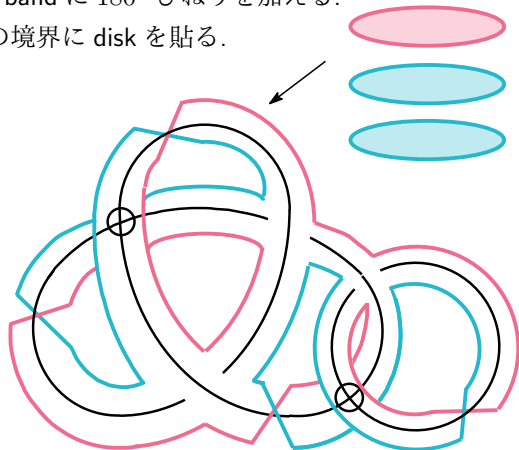
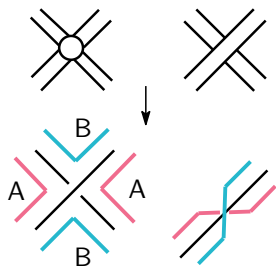
# Atom の構成方法 (V. O. Manturov, D. P. Ilyutko, 2013)

- ▶ 図式  $D$  の実交点を disk, 辺を band とみて, fat frame を構成する.
- ▶ A-splice, B-splice の色付けに従って, 交点周辺の境界に色付けを行う.
- ▶ 色付けがうまくいくように band に  $180^\circ$  ひねりを加える.



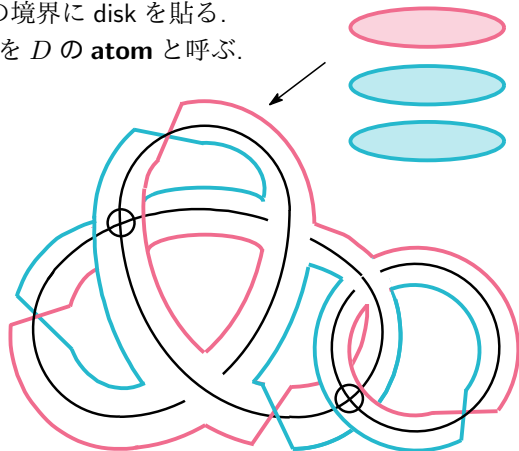
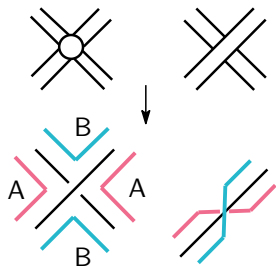
# Atom の構成方法 (V. O. Manturov, D. P. Ilyutko, 2013)

- ▶ 図式  $D$  の実交点を disk, 辺を band とみて, fat frame を構成する.
- ▶ A-splice, B-splice の色付けに従って, 交点周辺の境界に色付けを行う.
- ▶ 色付けがうまくいくように band に  $180^\circ$  ひねりを加える.
- ▶ ひねりを加えた fat frame の境界に disk を貼る.



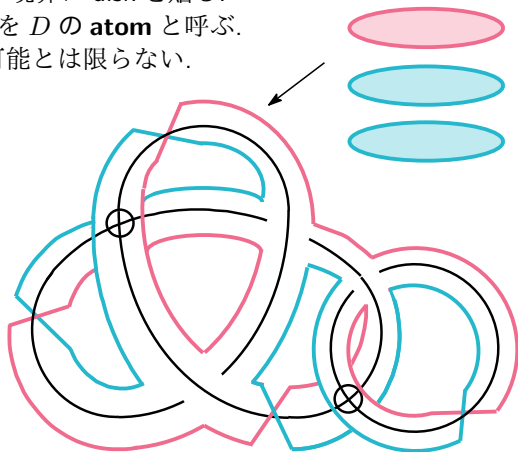
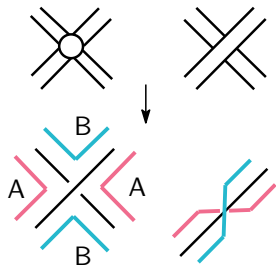
# Atom の構成方法 (V. O. Manturov, D. P. Ilyutko, 2013)

- ▶ 図式  $D$  の実交点を disk, 辺を band とみて, fat frame を構成する.
- ▶ A-splice, B-splice の色付けに従って, 交点周辺の境界に色付けを行う.
- ▶ 色付けがうまくいくように band に  $180^\circ$  ひねりを加える.
- ▶ ひねりを加えた fat frame の境界に disk を貼る.
- ▶ この操作で得られた閉曲面を  $D$  の **atom** と呼ぶ.



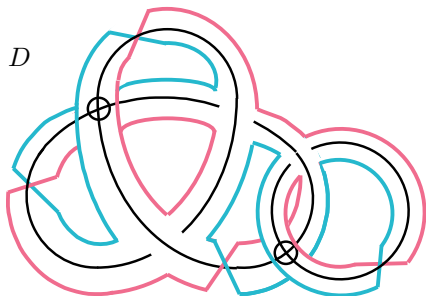
# Atom の構成方法 (V. O. Manturov, D. P. Ilyutko, 2013)

- ▶ 図式  $D$  の実交点を disk, 辺を band とみて, fat frame を構成する.
- ▶ A-splice, B-splice の色付けに従って, 交点周辺の境界に色付けを行う.
- ▶ 色付けがうまくいくように band に  $180^\circ$  ひねりを加える.
- ▶ ひねりを加えた fat frame の境界に disk を貼る.
- ▶ この操作で得られた閉曲面を  $D$  の **atom** と呼ぶ.
- ▶ 一般に atom は, 向きづけ可能とは限らない.



## Atom の Euler 標数

- ▶  $s_A(s_B)$  :  $D$  のすべての実交点を A-splice(B-splice) する state,
- ▶  $\#(\text{ひねりを加えた fat frame の境界}) = \#D(s_A) + \#D(s_B)$ ,
- ▶  $c(D)$  :  $D$  の実交点数,  $\chi(D)$  :  $D$  の atom の Euler 標数,  
 $\implies \chi(D) = -c(D) + \#D(s_A) + \#D(s_B)$

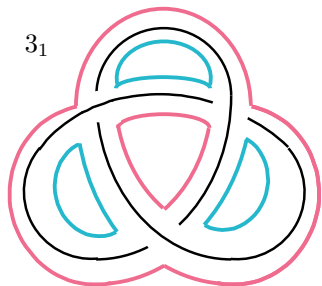


$$\begin{aligned} c(D) &= 3 \\ \#D(s_A) &= 1 \implies \chi(D) = 0 \\ \#D(s_B) &= 2 \end{aligned}$$

# Atom の Euler 標数

- ▶  $s_A(s_B)$  :  $D$  のすべての実交点を A-splice(B-splice) する state,
- ▶  $\#(\text{ひねりを加えた fat frame の境界}) = \#D(s_A) + \#D(s_B)$ ,
- ▶  $c(D)$  :  $D$  の実交点数,  $\chi(D)$  :  $D$  の atom の Euler 標数,  
 $\implies \chi(D) = -c(D) + \#D(s_A) + \#D(s_B)$

- ▶ 古典絡み目図式の atom は向きづけ可能である.
- ▶ 交代的な古典絡み目図式の atom  $\approx S^2$



$$\begin{aligned} c(D) &= 3 \\ \#D(s_A) &= 2 \implies \chi(3_1) = 2 \\ \#D(s_B) &= 3 \end{aligned}$$

# adequate 図式の Atom と村杉型不等式

## 定理 (Manturov, Ilyutko, 2013)

$D$  : 連結な仮想絡み目図式,  $c(D)$  :  $D$  の実交点数,  
 $\chi(D)$  :  $D$  から構成する曲面 **atom** の Euler 標数.

$$\implies \text{span} \langle D \rangle \leq 4c(D) + 2(\chi(D) - 2).$$

$D$  が **adequate** 図式ならば等号成立.

## 証明の方針

- ▶  $\langle D \rangle = \sum_s \langle D/s \rangle$ .
- ▶  $\text{span} \langle D \rangle = \overline{\text{deg}} \langle D \rangle - \underline{\text{deg}} \langle D \rangle$ .

上次数, 下次数を実現する state  $s, s'$  は何か?

$$\overline{\text{deg}} \langle D \rangle = \overline{\text{deg}} \langle D/s \rangle, \quad \underline{\text{deg}} \langle D \rangle = \underline{\text{deg}} \langle D/s' \rangle$$

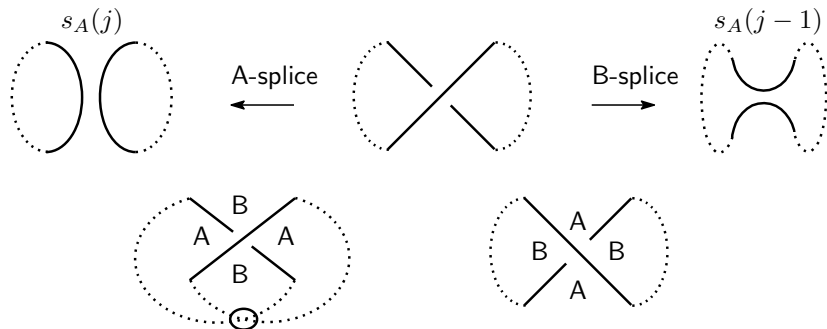
## 証明の概略

$s$  の重みは  $\langle D/s \rangle = A^{\#s^{-1}(A)} - \#s^{-1}(B) (-A^2 - A^{-2})^{\#D(s)-1}$  だから,

$$\overline{\deg} \langle D/s \rangle = \#s^{-1}(A) - \#s^{-1}(B) + 2\#D(s) - 2.$$

- ▶  $s_A$  : 全ての実交点を A-splice する  $D$  の state,  $\#s_A^{-1}(A) = c(D)$
- ▶  $s_A(j)$  :  $s_A$  の  $j$  か所を A-splice から B-splice に変えた  $D$  の state,

$$\begin{aligned} \#D(s_A(j-1)) - 1 &\leq \#D(s_A(j)) \leq \#D(s_A(j-1)) + 1 \\ \#D(s_A(j)) &\leq \#D(s_A) + j. \end{aligned}$$



## 証明の概略

$\langle D/s_A \rangle$  と  $\langle D/s_A(j) \rangle$  の上次数は,

$$\begin{aligned}\overline{\deg} \langle D/s_A(j) \rangle &= c(D) - 2j + 2\sharp D(s_A(j)) - 2 \\ &\leq c(D) + 2\sharp D(s_A) - 2,\end{aligned}$$

$$\overline{\deg} \langle D/s_A \rangle = c(D) + 2\sharp D(s_A) - 2.$$

- ▶  $\overline{\deg} \langle D \rangle \leq \overline{\deg} \langle D/s_A \rangle = c(D) + 2\sharp D(s_A) - 2,$
- ▶  $\underline{\deg} \langle D \rangle \geq \underline{\deg} \langle D/s_B \rangle = -c(D) - 2\sharp D(s_B) + 2.$

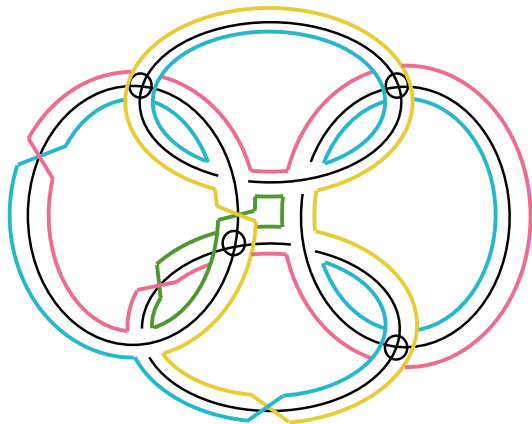
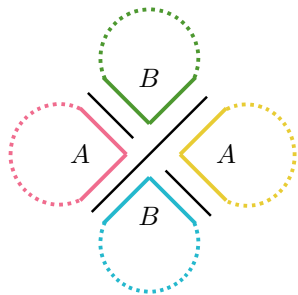
$$\begin{aligned}\text{span} \langle D \rangle &\leq \overline{\deg} \langle D/s_A \rangle - \underline{\deg} \langle D/s_B \rangle \\ &= 2c(D) + 2(\sharp D(s_A) + \sharp D(s_B)) - 4 \\ &= 2c(D) + 2(\chi(D) + c(D)) - 4 \\ &= 4c(D) + 2(\chi(D) - 2).\end{aligned}$$

- ▶ Atom の Euler 標数  $\chi(D) = -c(D) + \sharp D(s_A) + \sharp D(s_B).$
- ▶ Atom を使わないと  $\sharp D(s_A) + \sharp D(s_B) \leq c(D) + 2$  より  $\text{span} \langle D \rangle \leq 4c(D).$

# Adequate 図式

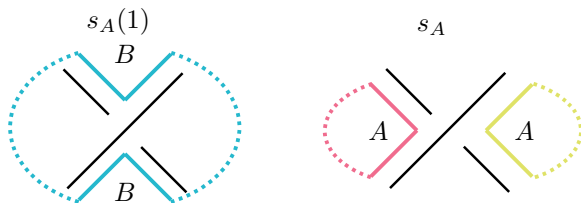
## 定義

$D$  の各実交点の周辺において、 $D$  のひねりを加えた fat frame の境界成分がすべて異なるとき、 $D$  は **adequate** 図式であるという。



## 証明の概略 : adequate 図式 $D$ の場合

$$\sharp D(s_A(1)) = \sharp D(s_A) - 1, \quad \sharp D(s_A(j)) \leq \sharp D(s_A) + j - 2.$$



$\langle D/s_A \rangle$  と  $\langle D/s_A(j) \rangle$  の上次数は,

$$\begin{aligned} \overline{\deg} \langle D/s_A(j) \rangle &= c(D) - 2j + 2\sharp D(s_A(j)) - 2 \\ &\leq c(D) + 2\sharp D(s_A) - 6, \\ \overline{\deg} \langle D/s_A \rangle &= c(D) + 2\sharp D(s_A) - 2. \end{aligned}$$

したがって  $\overline{\deg} \langle D/s_A(j) \rangle < \overline{\deg} \langle D/s_A \rangle = \overline{\deg} \langle D \rangle$ .

同様にして  $\underline{\deg} \langle D/s_B(j) \rangle > \underline{\deg} \langle D/s_B \rangle = \underline{\deg} \langle D \rangle$ .

## 証明の概略：adequate 図式 $D$ の場合

- ▶  $\overline{\deg} \langle D \rangle = \overline{\deg} \langle D/s_A \rangle = c(D) + 2\sharp D(s_A) - 2,$
- ▶  $\underline{\deg} \langle D \rangle = \underline{\deg} \langle D/s_B \rangle = -c(D) - 2\sharp D(s_B) + 2.$

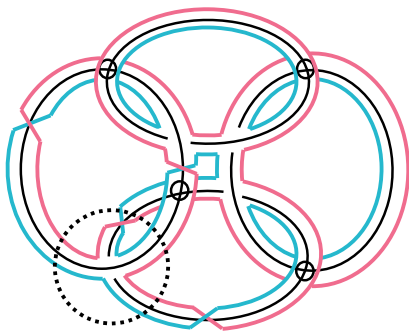
$$\begin{aligned} \text{span} \langle D \rangle &= \overline{\deg} \langle D/s_A \rangle - \underline{\deg} \langle D/s_B \rangle \\ &= 2c(D) + 2(\sharp D(s_A) + \sharp D(s_B)) - 4 \\ &= 2c(D) + 2(\chi(D) + c(D)) - 4 \\ &= 4c(D) + 2(\chi(D) - 2). \end{aligned}$$

### Atom の Euler 標数

$$\chi(D) = -c(D) + \sharp D(s_A) + \sharp D(s_B)$$

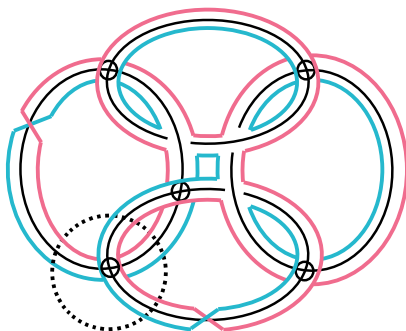
## v-adequate 図式

実交点を仮想交点に置き換えることを実交点を仮想化するという. adequate 図式の実交点を 1 つ仮想化して得られた図式を **v-adequate** 図式という.



adequate 図式

仮想化  
→



v-adequate 図式

# v-adequate 図式 $D'$ の atom と村杉型不等式

定理 (岡村-境, 2018)

$D$  : adequate 図式,  $D'$  :  $D$  を仮想化して得られた **v-adequate** 図式

$$\implies \text{span} \langle D' \rangle = 4c(D') + 2(\chi(D') - 2).$$

証明の概略

$$\sharp D'(s_A) - 1 \leq \sharp D'(s_A(1)) \leq \sharp D'(s_A),$$

$$\sharp D'(s_B) - 1 \leq \sharp D'(s_B(1)) \leq \sharp D'(s_B).$$

$\because \sharp D'(s_A(1)) = \sharp D'(s_A) + 1$  と仮定すると,  $\sharp D(s_A(1)) = \sharp D(s_A) + 1$ .

これは  $D$  が adequate 図式であることに矛盾.



## 証明の概略 : $v$ -adequate 図式 $D'$ の場合

$\#D'(s_A) - 1 \leq \#D'(s_A(1)) \leq \#D'(s_A)$  より  $\#D'(s_A(j)) \leq \#D'(s_A) + j - 1$ .

$\langle D'/s_A \rangle$  と  $\langle D'/s_A(j) \rangle$  の上次数は,

$$\begin{aligned}\overline{\deg} \langle D'/s_A(j) \rangle &= c(D') - 2j + 2\#D'(s_A(j)) - 2 \\ &\leq c(D') + 2\#D'(s_A) - 4, \\ \overline{\deg} \langle D'/s_A \rangle &= c(D') + 2\#D'(s_A) - 2,\end{aligned}$$

したがって  $\overline{\deg} \langle D'/s_A(j) \rangle < \overline{\deg} \langle D'/s_A \rangle = \overline{\deg} \langle D' \rangle$ .

同様に考えて,  $\underline{\deg} \langle D'/s_B(j) \rangle > \underline{\deg} \langle D'/s_B \rangle = \underline{\deg} \langle D' \rangle$

$$\begin{aligned}\text{span} \langle D' \rangle &= \overline{\deg} \langle D'/s_A \rangle - \underline{\deg} \langle D'/s_B \rangle \\ &= 2c(D') + 2(\#D'(s_A) + \#D'(s_B)) - 4 \\ &= 2c(D') + 2(\chi(D') + c(D')) - 4 \\ &= 4c(D') + 2(\chi(D') - 2).\end{aligned}$$

## adequate 図式と v-adequate 図式の比較

- ▶  $D$  : adequate 図式,
- ▶  $D'$  :  $D$  を仮想化して得られる v-adequate 図式,

### 補題

$$\chi(D') = \chi(D) - 1.$$

上記の補題と  $c(D') = c(D) - 1$  より, 次の系が成り立つ.

### 系 (岡村-境, 2018)

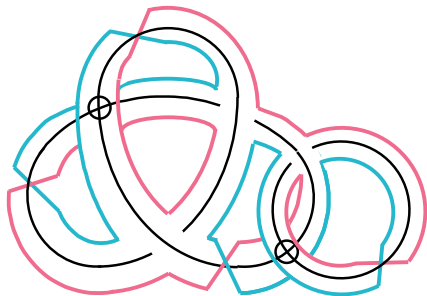
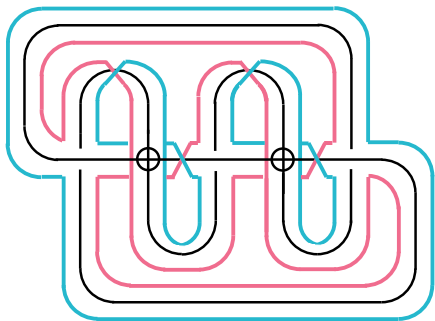
$$\text{span} \langle D' \rangle = \text{span} \langle D \rangle - 6.$$

$\text{span} \langle \text{古典絡み目} \rangle = 4$  の倍数であるから, adequate 図式と v-adequate 図式の少なくともどちらか一方は真に仮想絡み目を表す.

# 予想 (1) Atom の向きづけ可能性

## 命題

古典絡み目図式から構成する atom は向きづけ可能である.



## 予想

- ▶ Atom の向きづけ可能性  $+ \alpha$  で仮想交点数を評価できる.
- ▶ adequate 図式の atom は向きづけ可能である.

## 予想 (2) Tait 型予想

$L$  : adequate 図式をもつ仮想絡み目,

$D, D'$  :  $L$  を表す図式,

$g(D)$  ( $g(D')$ ) :  $D$  ( $D'$ ) の fat frame の種数,

$$D \text{ が adequate 図式} \implies c(D) \leq c(D'), \quad g(D) \leq g(D'),$$

(Y. Bae, H. S. Lee, C. -Y. Park, 2009).

### 予想

$$D \text{ が adequate 図式} \implies \chi(D') \leq \chi(D).$$